



Simetrías latentes de grafos y Hamiltonianos efectivos con aplicación al modelo SSH

FMP - GTMC 2023



Estructura de la charla

NOTA: La charla esta basada en un arxiv de 11 de Oct de 2023¹.

Voy aseguir los trabajos de Malte Rötgen y una presentación online².

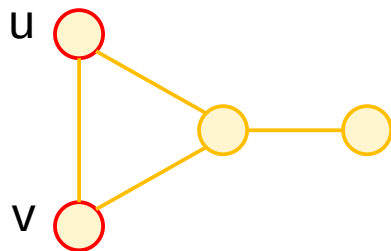
- Dos ejemplos de motivación.
- Algo de teoría básica de grafos y Reducción Isoespectral.
- Modelo de tight-binding SSH.
- Aplicación de las simetrías latentes.

[1] M. Röntgen, X. Chen, W. Gao, M. Pyzh, P. Schmelcher, V. Pagneux, V. Achilleos, and A. Coutant, Latent Su-Schrieffer-Heeger Models, arXiv:2310.07619. <https://arxiv.org/abs/2310.07619>

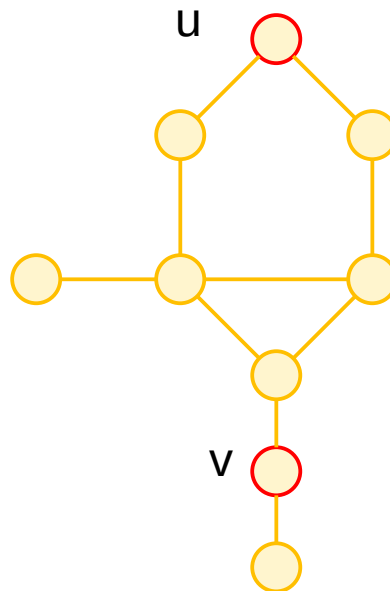
[2] M. Röntgen (2022, November 8), Latent symmetries: An introduction. <https://doi.org/10.52843/meta-mat.7d7p2h>

Simetrías en Modelo de TB...sin simetría¹

Simetría de reflexión

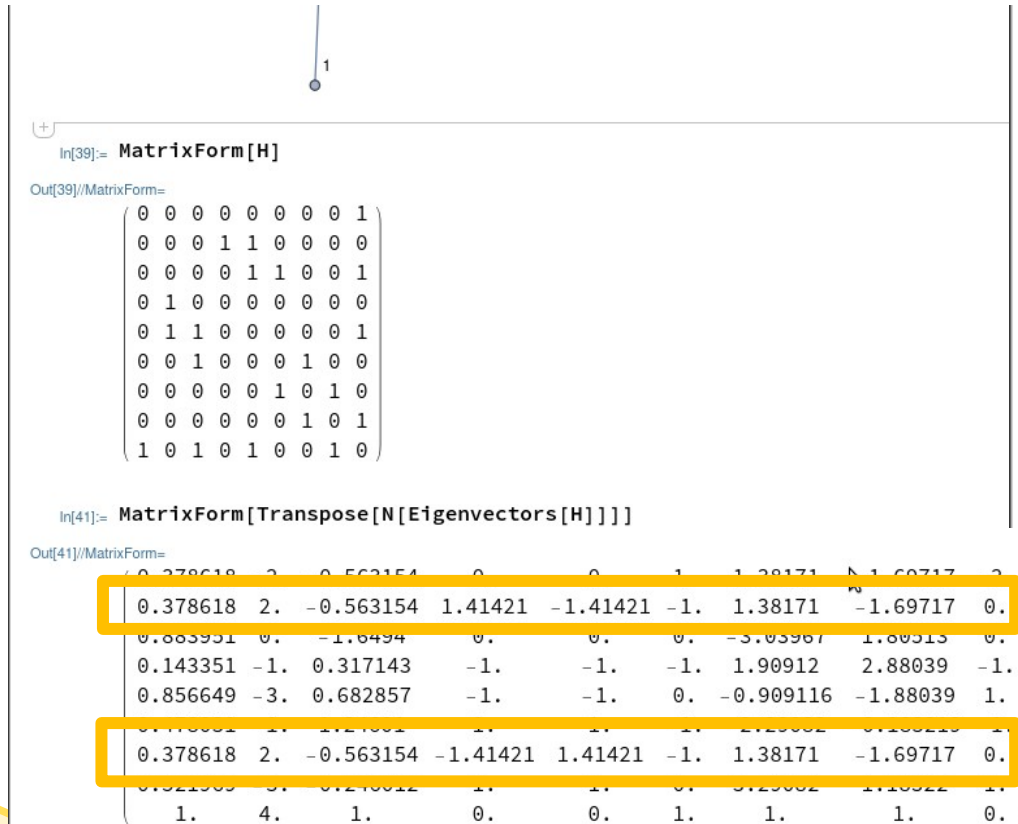


Simetría Latente



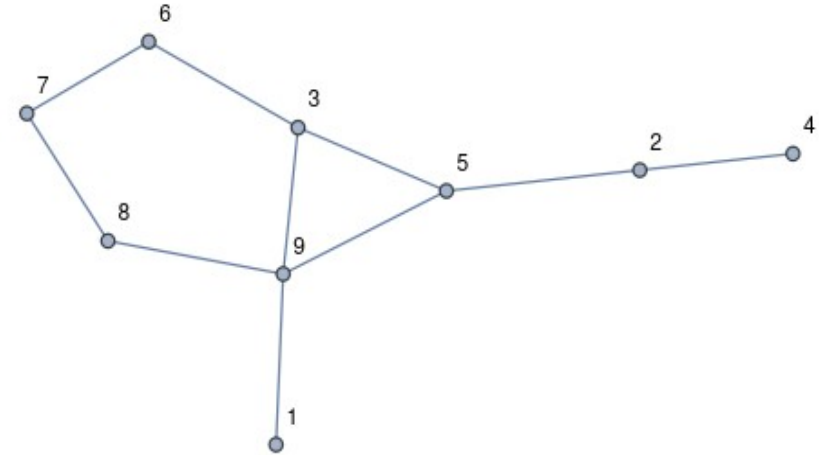
[1] D. Smith and B. Webb, Hidden Symmetries in Real and Theoretical Networks, Physica A: Statistical Mechanics and Its Applications 514, 855 (2019).

¿Como chequearlo?



In[38]:= **GraphPlot[H, VertexLabels → "Name"]**

Out[38]=



Reducción isoespectral

$$H\Psi = E\Psi$$

$$H\Psi = \begin{pmatrix} H_{SS} & H_{S\bar{S}} \\ H_{\bar{S}S} & H_{\bar{S}\bar{S}} \end{pmatrix} \begin{pmatrix} \Psi_S \\ \Psi_{\bar{S}} \end{pmatrix} = E \begin{pmatrix} \Psi_S \\ \Psi_{\bar{S}} \end{pmatrix}$$

$$H_{SS}\Psi_S + H_{S\bar{S}}\Psi_{\bar{S}} = E\Psi_S$$

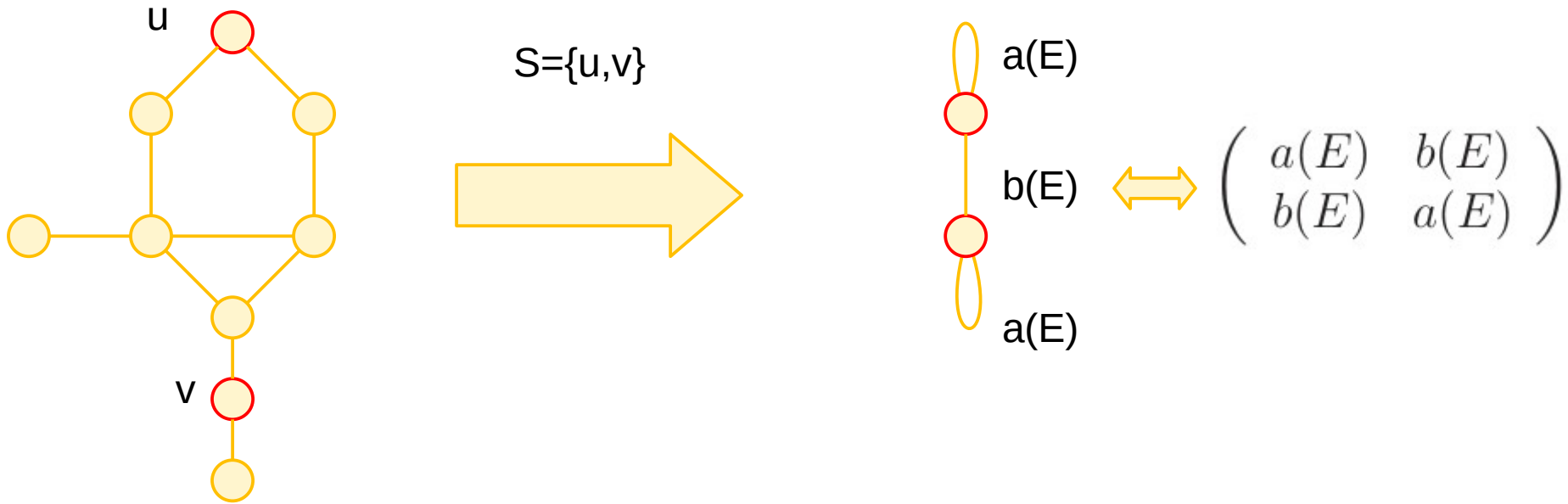
$$H_{\bar{S}S}\Psi_S + H_{\bar{S}\bar{S}}\Psi_{\bar{S}} = E\Psi_{\bar{S}}$$

Reducción isoespectral

$$H_{SS}\Psi_S + H_{S\bar{S}}\frac{1}{H_{\bar{S}\bar{S}} - E}H_{\bar{S}S}\Psi_S = E\Psi_S$$
$$\left(H_{SS} + H_{S\bar{S}}\frac{1}{H_{\bar{S}\bar{S}} - E}H_{\bar{S}S} - E\mathbb{I} \right) \Psi_S = 0$$
$$(\mathcal{R}_E(H, S) - E\mathbb{I})\Psi_S = 0$$

• $\mathcal{R}_E(H, S)$ Es la reducción isoespectral de H en el conjunto S (Teoria de grafos).
Es un Hamiltoniano Efectivo.

Simetrías en el Hamiltoniano Efectivo



Relación entre los autovalores de R y H

El problema de autovalores del Hamiltoniano efectivo es,

$$\det(\mathcal{R}_E(H, S) - E\mathbb{I}) = 0$$

Pero es **no-lineal**! Ya que tiene E , tanto en el autovalor como en la matriz.

Corollary 1.1. *For $M \in \mathbb{C}^{n \times n}$, let S and \bar{S} form a nonempty partition of N . Then*

- (i) $\sigma(\mathcal{R}(M; S)) = \sigma(M) - \sigma(M_{\bar{S}\bar{S}})$; and
- (ii) $\sigma^{-1}(\mathcal{R}(M; S)) = \sigma(M_{\bar{S}\bar{S}}) - \sigma(M)$.

Si H y $H_{\bar{S}\bar{S}}$ no tienen autovalores en común, entonces el espectro de $\mathcal{R}_E(H, S)$ y H son iguales.

1 Forma de detectar simetrías latentes

Si $\mathbb{H}_{u,u}^n = \mathbb{H}_{v,v}^n$ Entonces u y v tienen una simetría latente.

En teoría de grafos los elementos $(G^n)_{u,v}$ de las potencias de la matriz de adyacencia G (H en TB para nosotros), indican la cantidad de caminos diferentes en el grafo para ir de u a v en n pasos.

Además, u y v **tienen que tener la misma cantidad de conexiones.**

Ver los trabajos para ver otras formas de detectar las simetrías latentes¹.

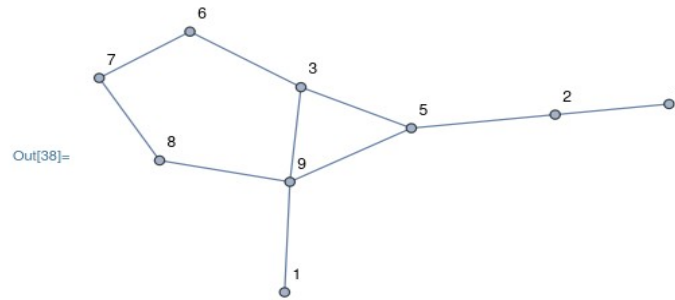
[1]D. Smith and B. Webb, Hidden Symmetries in Real and Theoretical Networks, Physica A: Statistical Mechanics and Its Applications 514, 855 (2019).

Test para el grafo ejemplo

/MatrixForm=

$$\begin{pmatrix} 1 & 0 & 1 & 0 & 1 & 0 & 0 & 1 & 0 \\ 0 & 2 & 1 & 0 & 0 & 0 & 0 & 0 & 1 \\ 1 & 1 & 3 & 0 & 1 & 0 & 1 & 1 & 1 \\ 0 & 0 & 0 & 1 & 1 & 0 & 0 & 0 & 0 \\ 1 & 0 & 1 & 1 & 3 & 1 & 0 & 1 & 1 \\ 0 & 0 & 0 & 0 & 1 & 2 & 0 & 1 & 1 \\ 0 & 0 & 1 & 0 & 0 & 0 & 2 & 0 & 1 \\ 1 & 0 & 1 & 0 & 1 & 1 & 0 & 2 & 0 \\ 0 & 1 & 1 & 0 & 1 & 1 & 1 & 0 & 4 \end{pmatrix}$$

In[38]:= GraphPlot[H, VertexLabels -> "Name"]



atrixForm=

$$\begin{pmatrix} 4 & 1 & 6 & 1 & 6 & 2 & 1 & 5 & 2 \\ 1 & 6 & 6 & 0 & 2 & 1 & 2 & 1 & 7 \\ 6 & 6 & 15 & 1 & 9 & 3 & 6 & 7 & 10 \\ 1 & 0 & 1 & 2 & 4 & 1 & 0 & 1 & 1 \\ 6 & 2 & 9 & 4 & 15 & 7 & 2 & 8 & 9 \\ 2 & 1 & 3 & 1 & 7 & 7 & 1 & 5 & 7 \\ 1 & 2 & 6 & 0 & 2 & 1 & 6 & 1 & 7 \\ 5 & 1 & 7 & 1 & 8 & 5 & 1 & 8 & 3 \\ 2 & 7 & 10 & 1 & 9 & 7 & 7 & 3 & 21 \end{pmatrix}$$

/MatrixForm=

$$\begin{pmatrix} 0 & 1 & 1 & 0 & 1 & 1 & 1 & 0 & 4 \\ 1 & 0 & 1 & 2 & 4 & 1 & 0 & 1 & 1 \\ 1 & 1 & 2 & 1 & 5 & 4 & 1 & 2 & 6 \\ 0 & 2 & 1 & 0 & 0 & 0 & 0 & 0 & 1 \\ 1 & 4 & 5 & 0 & 2 & 1 & 2 & 1 & 6 \\ 1 & 1 & 4 & 0 & 1 & 0 & 3 & 1 & 2 \\ 1 & 0 & 1 & 0 & 2 & 3 & 0 & 3 & 1 \\ 0 & 1 & 2 & 0 & 1 & 1 & 3 & 0 & 5 \\ 4 & 1 & 6 & 1 & 6 & 2 & 1 & 5 & 2 \end{pmatrix}$$

atrixForm=

$$\begin{pmatrix} 2 & 7 & 10 & 1 & 9 & 7 & 7 & 3 & 21 \\ 7 & 2 & 10 & 6 & 19 & 8 & 2 & 9 & 10 \\ 10 & 10 & 22 & 6 & 31 & 21 & 10 & 16 & 37 \\ 1 & 6 & 6 & 0 & 2 & 1 & 2 & 1 & 7 \\ 9 & 19 & 31 & 2 & 20 & 11 & 15 & 11 & 38 \\ 7 & 8 & 21 & 1 & 11 & 4 & 12 & 8 & 17 \\ 7 & 2 & 10 & 2 & 15 & 12 & 2 & 13 & 10 \\ 3 & 9 & 16 & 1 & 11 & 8 & 13 & 4 & 28 \\ 21 & 10 & 37 & 7 & 38 & 17 & 10 & 28 & 24 \end{pmatrix}$$

Modificación de la red sin romper SL

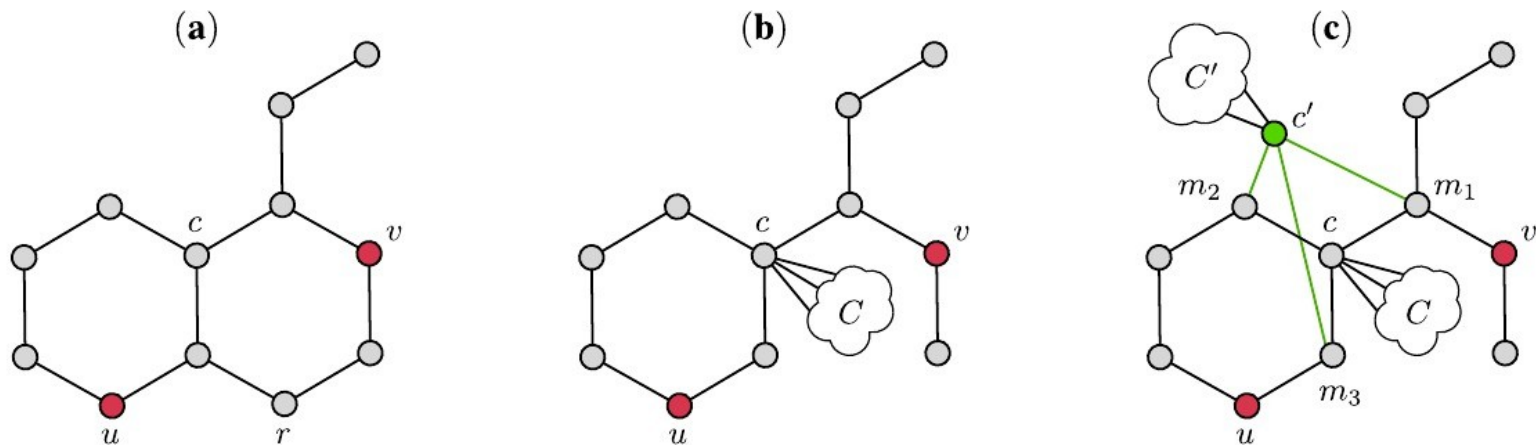
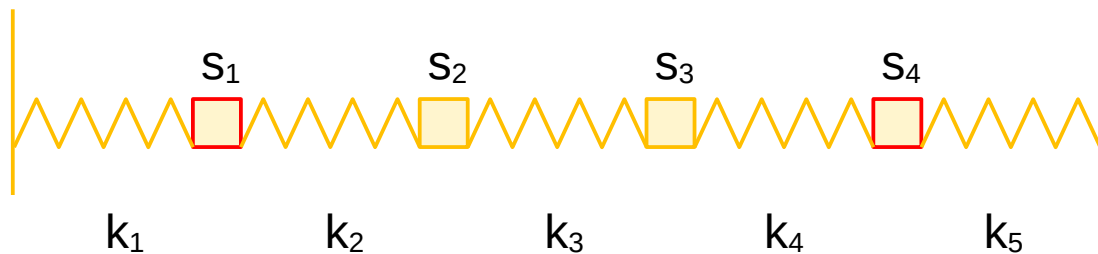


Fig. 2. (a) A molecular graph, taken from Ref. [8], which has two cospectral vertices u, v and two “unrestricted substitution points” (USPs) c, r . (b) The USPs are vertices which can be connected to any arbitrary graph C (as done with c) or also removed from the graph (as done with r), without breaking the cospectrality of u, v . (c) In the present work we generalize USPs to vertex subsets called “walk multiplets”, an example here being the subset $M = \{m_1, m_2, m_3\}$. We can connect this subset to a new vertex c' , which we can in turn connect to an arbitrary graph C' , without breaking the cospectrality of u, v . The added vertex c' is a walk “singlet”, which is identified as an USP.

Modelo de resortes



$$\mathbb{V}\mathbf{s} = m\omega^2\mathbf{s}$$

$$\mathbb{V}_{i,j} = \frac{\partial^2 U}{\partial s_i \partial s_j}$$

$$U = \frac{1}{2} \sum_{i=0} k_{i+1} (s_{i+1} - s_i)^2 \quad s_0 = s_5 \equiv 0$$

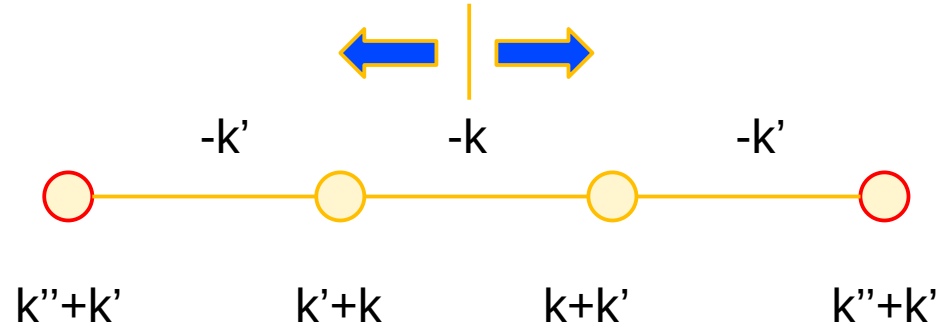
$$k_1 = k_5 = k''$$

$$k_2 = k_4 = k'$$

$$k_3 = k$$

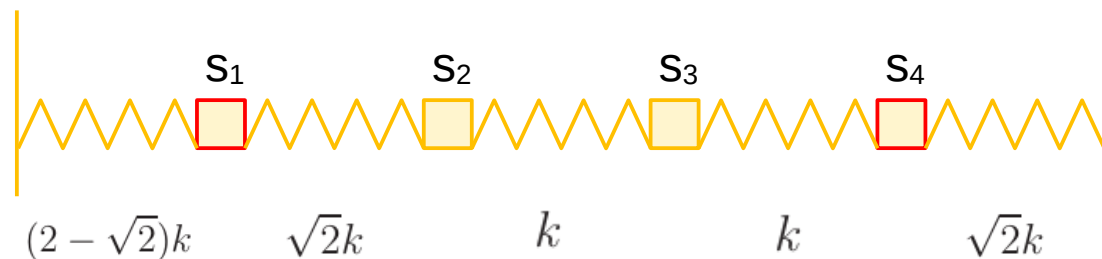
Modelo de resortes

$$\mathbb{V} = \begin{pmatrix} k'' + k' & -k' & 0 & 0 \\ -k' & k' + k & -k & 0 \\ 0 & -k & k + k' & -k' \\ 0 & 0 & -k' & k'' + k' \end{pmatrix}$$



Vemos que hay una simetría en los sitios 1 y 4 que se manifiesta en la matriz y el grafo. Los autovectores van a ser simétricos o antisimétricos en 1 y 4, y en 2 y 3.

Modelo de resortes



$$\mathbb{V} = \begin{pmatrix} 2k & -\sqrt{2}k & 0 & 0 \\ -\sqrt{2}k & (1 + \sqrt{2})k & -k & 0 \\ 0 & -k & 2k & -k \\ 0 & 0 & -k & (1 + \sqrt{2})k \end{pmatrix}$$

Modelo de resortes

Si hacemos la reducción isoespectral en 1 y 3, se tiene que,

$$\mathcal{R}_\lambda(H, \{1, 3\}) = \begin{pmatrix} 2 - \frac{2}{-\lambda + \sqrt{2} + 1} & -\frac{\sqrt{2}}{-\lambda + \sqrt{2} + 1} \\ -\frac{\sqrt{2}}{-\lambda + \sqrt{2} + 1} & 2 - \frac{2}{-\lambda + \sqrt{2} + 1} \end{pmatrix} \Rightarrow \begin{pmatrix} a(E) & b(E) \\ b(E) & a(E) \end{pmatrix}$$

Con lo cual se hace evidente la simetría latente.

Modelo SSH

- Es un modelo TB muy estudiado.
- Presenta una transición de fase topológica.
- Es soluble exactamente.

Modelo SSH



$$H\Psi = \left(\begin{array}{cc|cc|cc} A_{n-1} & B_{n-1} & A_n & B_n & A_{n+1} & B_{n+1} \\ 0 & v & 0 & 0 & 0 & 0 \\ v & 0 & w & 0 & 0 & 0 \\ \hline 0 & w & 0 & v & 0 & 0 \\ 0 & 0 & v & 0 & w & 0 \\ \hline 0 & 0 & 0 & w & 0 & v \\ 0 & 0 & 0 & 0 & v & 0 \end{array} \right) \begin{pmatrix} \Psi_A e^{ika(n-1)} \\ \Psi_B e^{ika(n-1)} \\ \hline \Psi_A e^{ika(n)} \\ \Psi_B e^{ika(n)} \\ \hline \Psi_A e^{ika(n+1)} \\ \Psi_B e^{ika(n+1)} \end{pmatrix} = \varepsilon \begin{pmatrix} \Psi_A e^{ika(n-1)} \\ \Psi_B e^{ika(n-1)} \\ \hline \Psi_A e^{ika(n)} \\ \Psi_B e^{ika(n)} \\ \hline \Psi_A e^{ika(n+1)} \\ \Psi_B e^{ika(n+1)} \end{pmatrix}$$

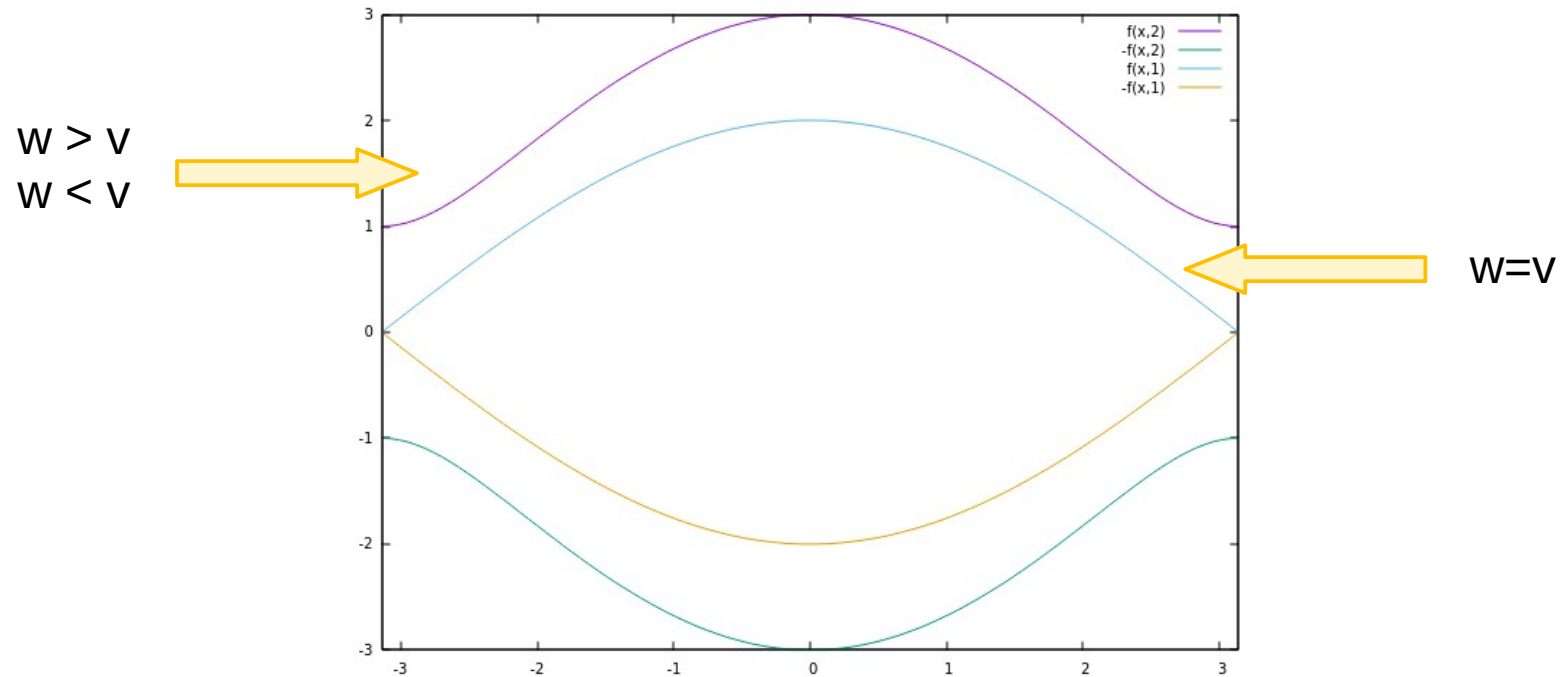
Modelo SSH

$$\begin{pmatrix} 0 & v + we^{-ika} \\ v + we^{-ika} & 0 \end{pmatrix} \begin{pmatrix} \Psi_A \\ \Psi_B \end{pmatrix} = \varepsilon \begin{pmatrix} \Psi_A \\ \Psi_B \end{pmatrix}$$

$$\varepsilon_{\pm} = \pm \sqrt{v^2 + w^2 + 2vw \cos(ka)} \quad \text{Simetría en } v \text{ y } w.$$

$$\phi_{\pm} = \frac{1}{\sqrt{2}} \begin{pmatrix} \pm e^{\phi_k} \\ 1 \end{pmatrix} \quad \phi_k = \frac{w \sin(ka)}{v + w \cos(ka)} \quad \text{Sin simetría en } v \text{ y } w$$

Dispersion de SSH



Caracterizando los estados

$$A_-(k) = i \left\langle \phi_- \left| \frac{d}{dk} \right| \phi_- \right\rangle = \frac{1}{2} \frac{d\phi_k}{dk}$$

Fase de Berry

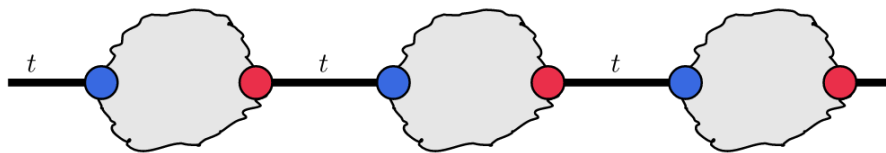
$$g = -\frac{1}{\pi} \int_{\text{BZ}} A_-(k) dk = \begin{cases} 0 & v > w \\ \text{undefined} & v = w, \\ 1 & v < w \end{cases}$$

Winding number

Entonces, los estados con $v > w$ y $v < w$ son topológicamente distintos y para pasar de uno a otro debemos pasar por una fase conductora ($v=w$).

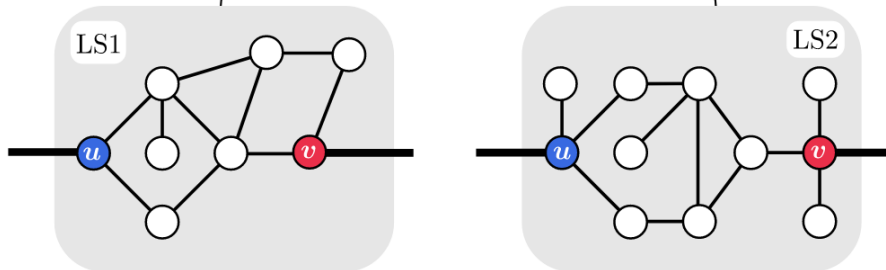
Modelo ssh para una cadena con S. L.

(a)



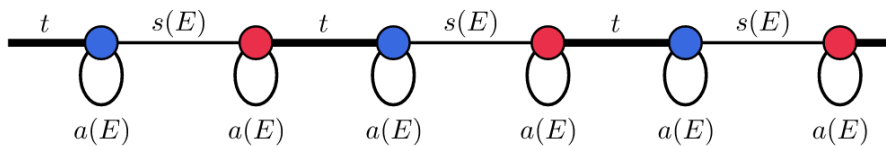
or

(b)



$$\tilde{H}_S^{(B)}(E, k) = \begin{pmatrix} a(E) & s(E) + t e^{ik} \\ s(E) + t e^{-ik} & a(E) \end{pmatrix}.$$

(c)



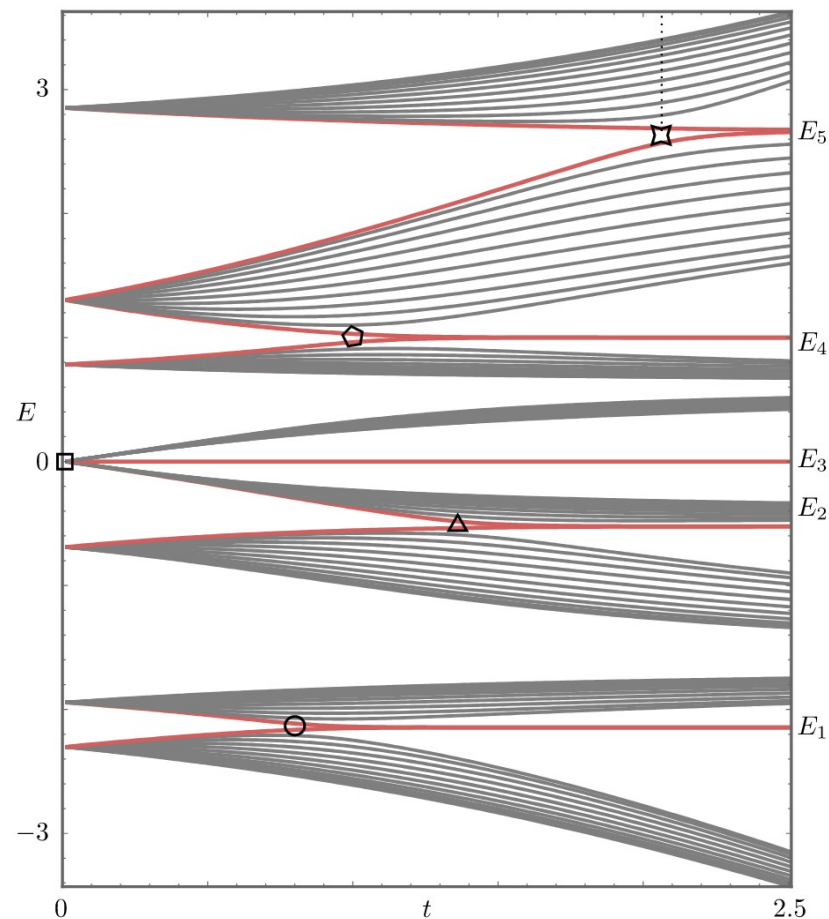
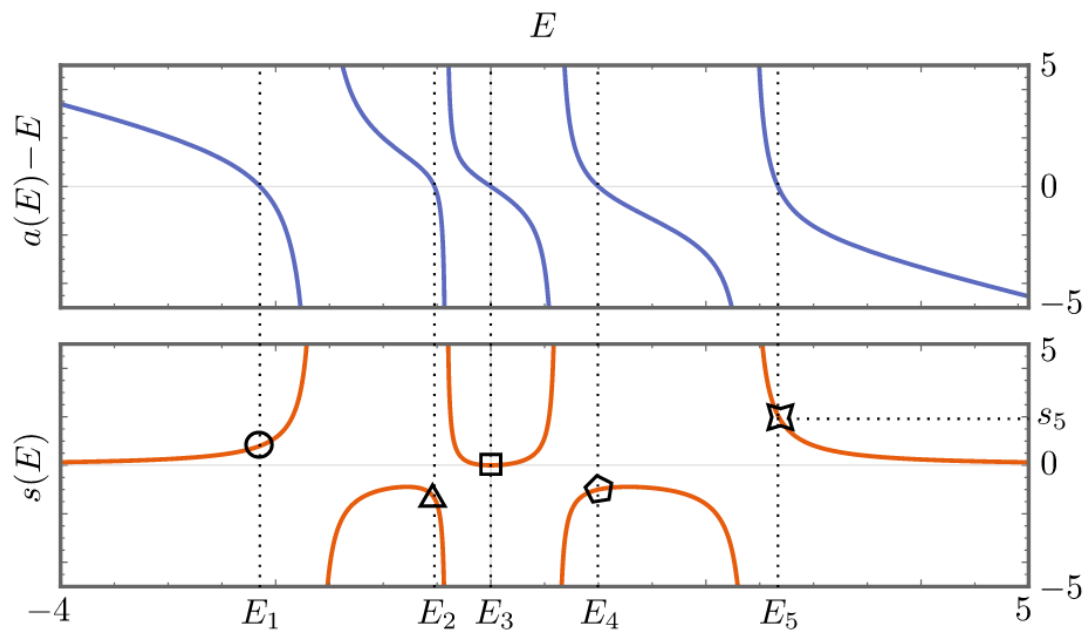
SSH efectivo

$$\begin{pmatrix} 0 & s(E) + te^{ik} \\ s(E) + te^{-ik} & 0 \end{pmatrix} \Psi_S(k) = \epsilon \Psi_S(k), \quad \epsilon = E - a(E).$$

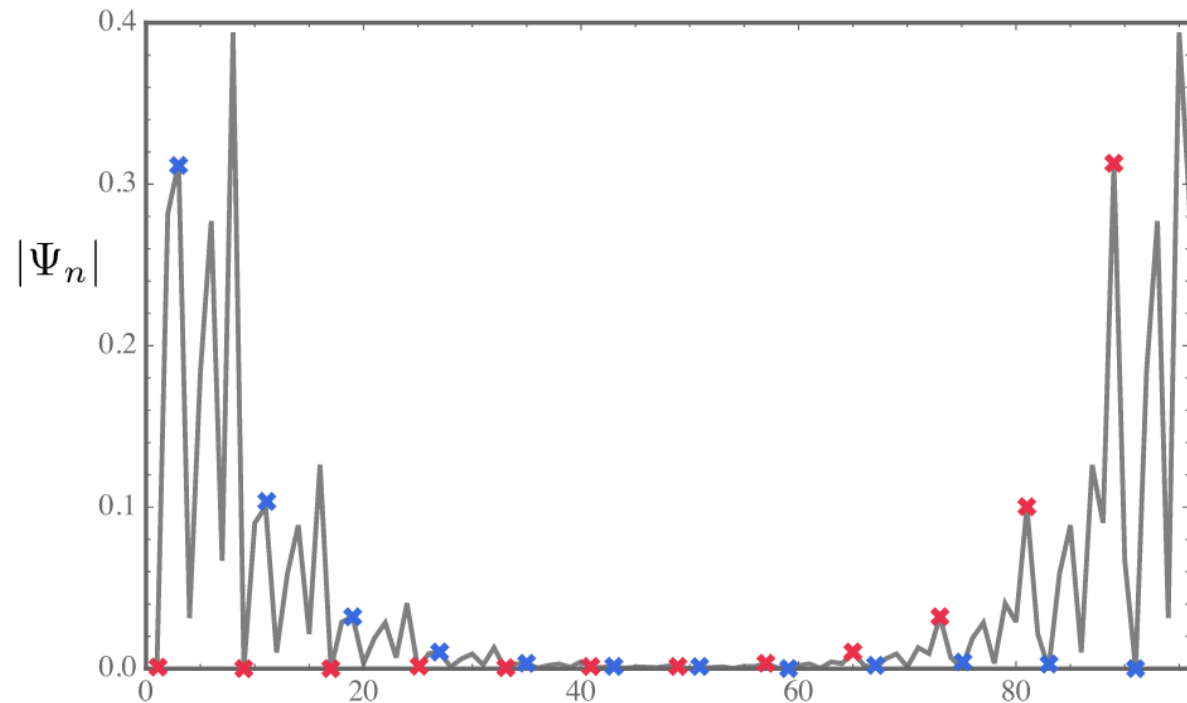
Ahora, las transiciones topológicas en el SSH se dan en $\epsilon=0$, valor en que Debería ser $\rightarrow s(E)=t$ ($v=w$).

Al final, si lo es, pero no me queda claro por que si lo es!

Estructura de banda del SSH latente



Estados topologicos para E1



Gracias por escuchar!

- [1]M. Kempton, J. Sinkovic, D. Smith, and B. Webb, Characterizing Cospectral Vertices via Isospectral Reduction, *Linear Algebra and Its Applications* 594, 226 (2020).
- [2]D. Smith and B. Webb, Hidden Symmetries in Real and Theoretical Networks, *Physica A: Statistical Mechanics and Its Applications* 514, 855 (2019).
- [3]M. Röntgen, Latent Symmetries: An Introduction - Presented by Dr. Malte Röntgen, (seminario grabado).
- [4]M. Röntgen, M. Pyzh, C. V. Morfonios, and P. Schmelcher, On Symmetries of a Matrix and Its Isospectral Reduction, *arXiv:2105.12579*.
- [5]M. Röntgen, M. Pyzh, C. V. Morfonios, N. E. Palaiodimopoulos, F. K. Diakonou, and P. Schmelcher, Latent Symmetry Induced Degeneracies, *Phys. Rev. Lett.* 126, 180601 (2021).
- [6]L. Bunimovich and B. Webb, *Isospectral Transformations: A New Approach to Analyzing Multidimensional Systems and Networks* (Springer New York, New York, NY, 2014).
- [7]M. Röntgen, X. Chen, W. Gao, M. Pyzh, P. Schmelcher, V. Pagneux, V. Achilleos, and A. Coutant, Latent Su-Schrieffer-Heeger Models, *arXiv:2310.07619*.
- [8] C. V. Morfonios, M. Pyzh, M. Röntgen, and P. Schmelcher, Cospectrality Preserving Graph Modifications and Eigenvector Properties via Walk Equivalence of Vertices, *Linear Algebra and Its Applications* 624, 53 (2021).